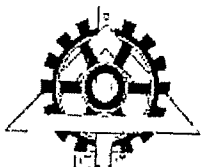


٢٢٤٦



دانشگاه  
پژوهشی  
علمی  
جمهوری اسلامی  
ایران

دانشگاه تهران

دانشکده فنی

گروه مهندسی معدن

۱۳۸۲ / ۴ / ۲۰

### عنوان:

رفتارنگاری و بررسی پیامدهای لرزش ناشی از آتشکاری در طرح توسعه  
سد مسجد سلیمان (گدارلندر)

### توسط:

مجتبی دادخواه

### استاد راهنمای:

دکتر محمد فاروق حسینی

پایان نامه کارشناسی ارشد در  
رشته مهندسی معدن (گرایش استخراج)

۲۰۷۶

خرداد ۱۳۸۲



## صفحه تصویب پایان نامه کارشناسی ارشد

موضوع:

رفتارنگاری و بررسی پیامدهای لرزش ناشی از آتشکاری در طرح توسعه  
سد مسجد سلیمان (گدارلندر)

۱۳۸۲ / ۲ / ۲۰

توسط:

مجتبی دادخواه

پایان نامه برای دریافت درجه کارشناسی ارشد

رشته مهندسی معدن استخراج

از این پایان نامه در تاریخ ۱۹/۳/۸۲ در مقابل هیئت داوران دفاع به عمل آمده و مورد تصویب  
قرار گرفت.

محل امضاء



سرپرست کمیته تحصیلات تکمیلی دانشکده: آقای دکتر احمد فخری  
مدیر گروه آموزشی: آقای دکتر احمد جعفری  
استاد راهنمای: آقای دکتر محمد فاروق حسینی (برادر دکتر احمد فخری)  
داور مدعو: آقای دکتر عبدالرحیم جواهیریان  
داور مدعو: آقای دکتر احمد جعفری  
داور مدعو: آقای دکتر غلامحسین نوروزی

## تقدیم به

آنانکه در ظلمت شب فروغ مهتاب شدند ، در قهقهه مستانه شان و در شادی وصلشان عند ریهم  
برزقونند و از نفوس مطمئنه ای هستند که مورد خطاب فادخلی فی عبادی وادخلی جنتی پروردگارند.

### شهداء جنگ تحملی بیویژه شهید حمید رضا دادخواه

اسوه های ایثار و فداکاری ، آنانکه می سوزند و روشن می کنند ، سفید موی گشتند تا سفید روی  
بمانیم.

### پدر و مادر عزیزم

## تقدیر و تشکر

"من لم يشكر المخلوق، لم يشكرا الخالق"

حال که به لطف خداوند تبارک و تعالیٰ کار این پایان نامه به پایان رسیده است بر خود لازم می دانم تا از راهنماییهای ارزنده و کمکهای بی دریغ استاد گرانقدر جناب آقای دکتر محمد فاروق حسینی تشکر و قدردانی نمایم.

همچنین از جناب آقایان دکتر عبدالرحیم جواهیریان ، دکتر احمد جعفری و دکتر غلامحسین نوروزی که داوری این پایان نامه را بر عهده داشتند کمال تشکر و قدردانی را دارم.  
از همکاریهای موثر و مفید و تامین امکانات توسط مدیران و مسئولین شرکتپذی توسعه منابع آب و نیروی ایران و مشانیر بویژه آقایان مهندس خلفی ، مهندس دارابی و مهندس میرزاپور که قطعاً بدون حسن توجهشان انجام این پایان نامه مقدور نبود صمیمانه سپاسگزاری می نمایم.  
همچنین از کمکهای دوستان عزیزم بویژه آقایان مهندس عبدالرحیم نکوئیان و مهندس حسین کاظمی تشکر و قدردانی را دارم.

یکی از مهمترین پدیده های انفجار لرزش زمین است، که باید کنترل و زیانهای ناشی از آن به حداقل ممکن کاهش یابد تا ایمنی محیط کار و مناطق نزدیک آن تامین و از خسارات جانی و مالی پیشگیری شود. در طرح توسعه نیروگاه برق - آبی سد مسجد سلیمان عملیات حفاری آتشکاری به طور همزمان با کارهای مکانیکی و الکتریکی فاز یک انجام می شود. به منظور کنترل میزان لرزش ناشی از انفجار و پیامدهای نامطلوب آن سرعت ذرات محیط اطراف مغار با نصب ژئوفنی از نوع UVS 1500 اندازه گیری و ثبت شده است.

ابتدا داده های لرزه ای که هر کدام شامل سه مولفه قائم، شعاعی و مماسی می باشند در دو حیطه زمان و فرکانس با استفاده از نرم افزار SURFER7 مورد تحلیل قرار گرفتند، و به کمک استاندارد DIN 4150 این نتیجه حاصل شد که انفجارات انجام گرفته خطر جدی نخواهد داشت.

روابط تجربی متعددی برای برآورد لرزش حاصل از انفجار بوسیله محققین ارائه شده است. با بهره گیری از مقادیر ثبت شده لرزش توسط ژئوفن، کارایی پنج فرمول تجربی شناخته شد و مقدار همخوانی آنها با این داده ها بصورت کمی محاسبه گردید. بررسی های فراتر برای یافتن روابط مناسبتر منجر به ارائه یک رابطه جدید گردید که الهام گرفته از فرمول لانگفورس - کیلستروم می باشد. با تجزیه و تحلیل داده ها با استفاده از نرم افزار EXCLE و DATAFIT و MATLAB مشخص شد که رابطه پیشنهادی جدید مقادیر لرزش در پروژه مورد شده توسط نرم افزار MATLAB مشخص شد که همچنین پیش بینی حداکثرسrust نظر را به مراتب دقیقتر از فرمولهای تجربی دیگر برآورد می نماید. همچنین پیش بینی حداکثرسrust ذرات توسط شبکه عصبی و بر اساس دو عامل فاصله از محل انفجار و مقدار ماده منجره به ازای هر تاخیر صورت گرفت. مقایسه نتایج شبکه عصبی و روابط تجربی نشان داد که شبکه عصبی علاوه بر خطای کمتر نسبت به روابط تجربی، به دلیل غیر خطی بودن، انعطاف پذیری زیاد و همچنین امکان حذف و اضافه نمودن هر تعداد از عوامل موثر، قابلیتهای بسیار بیشتری نسبت به روابط تجربی دارد.

## فهرست مطالب

صفحه

عنوان

### فصل اول : مقدمه

۲	مقدمه
---	-------

### فصل دوم : آشنایی با نیروگاه برق-آبی سد مسجد سلیمان

۵	۱-۲ مقدمه
۶	۲-۲ مشخصات کلی طرح
۷	۳-۲ مشخصات فنی
۸	۴-۲ مطالعات ژئوتکنیکی
۸	۱-۴-۲ مراحل امکان سنجی
۸	۲-۴-۲ مراحل مطالعات مهندسی
۱۰	۳-۴-۲ مطالعات انجام شده در حین اجرا
۱۵	۴-۴-۲ مطالعات انجام شده پس از آذر ۱۳۷۲
۱۷	۵-۲ طراحی مغارها
۱۷	۱-۵-۲ مغار نیروگاه
۱۹	۲-۵-۲ مغار مبدل
۲۰	۶-۲ زمین شناسی ناحیه ای
۲۱	۷-۲ چینه شناسی

### فصل سوم : کلیاتی از لرزش زمین

۲۲	۱-۳ مقدمه
۲۳	۲-۳ عوامل ایجاد موج لرزه ای
۲۳	۳-۳ ویژگیهای لرزش زمین
۲۴	۱-۳-۳ امواج لرزه ای
۲۴	۱-۱-۳-۳ امواج حجمی
۲۵	۲-۱-۳-۳ امواج سطحی
۲۶	۲-۳-۳ پارامترهای حرکت موجی
۲۷	۳-۳-۳ سرعت انتشار امواج

## فهرست مطالب

صفحه	عنوان
۲۸	۴-۳-۳ فرکانس لرزش
۲۹	۴-۳ استانداردهای لرزش
۳۰	۱-۴-۳ استاندارد لرزش بر مبنای شاخص فاصله مقیاس شده
۳۱	۲-۴-۳ استاندارد لرزش بر مبنای شاخص حداکثر سرعت ذرات
۳۲	۵-۳ روابط و مدل‌های ریاضی جهت محاسبه و پیش‌بینی حداکثر سرعت ذرات
۳۳	۱-۵-۳ روابط تجربی لرزش زمین
۳۸	۲-۵-۳ روابط تئوری لرزش زمین
۴۰	۳-۶ پارامترهای قابل کنترل
۴۰	۱-۶-۳ میزان خرج در هر تأخیر
۴۰	۲-۶-۳ فاصله از محل انفجار
۴۲	۳-۶-۳ خرج ویژه
۴۳	۴-۶-۳ زمان تأخیر
۴۴	۵-۶-۳ طول خرج
۴۵	۶-۶-۳ راستای شروع انفجار
۴۷	۷-۳ پارامترهای غیر قابل کنترل
فصل چهارم : انفجار در نیروگاه آبی سد مسجد سلیمان	
۵۶	۱-۴ چالزنی در سد مسجد سلیمان
۵۷	۲-۴ انفجار در سد مسجد سلیمان
فصل پنجم : ثبت و تحلیل اطلاعات لرزه‌ای ناشی از انفجار در طرح توسعه نیروگاه آبی سد مسجد سلیمان	
۷۰	۱-۵ ثبت داده‌های لرزه‌ای انفجار
۷۰	۱-۱-۵ ژئوفن 1500 UVS
۷۴	۲-۵ تحلیل داده‌های لرزه‌ای
۷۴	۱-۲-۵ تحلیل داده‌های لرزه‌ای در حیطه زمان
۸۶	۲-۲-۵ تحلیل داده‌های لرزه‌ای در حیطه فرکانس
۸۹	۳-۵ بررسی پارامترهای موثر در لرزش

## فهرست مطالب

صفحه

عنوان

۸۹.....	۱-۳-۵ ماکزیم خرج در هر تاخیر
۹۳.....	۲-۳-۵ تاثیر فاصله از محل انفجار
۹۶.....	۳-۳-۵ تاثیر خرج ویژه
۹۶.....	۴-۳-۵ تاثیر تعداد چال

### فصل ششم: بررسی روابط مختلف برای پیش بینی لرزش ناشی از انفجار و پیشنهاد یک رابطه برای نیروگاه برق - آبی سد مسجد سلیمان

۱۰۱.....	۱-۶ مقدمه
۱۰۲.....	۲-۶ بررسی روابط ارائه شده برای پیش بینی لرزش
۱۰۳.....	۳-۶ رابطه پیشنهادی برای انفجارات طرح توسعه نیروگاه آبی مسجد سلیمان
۱۱۷.....	۴-۶ مقایسه نتایج حاصل از روابط پیشنهادی با مقادیر واقعی
۱۲۴.....	۵-۶ کاربرد شبکه های عصبی مصنوعی در پیش بینی لرزش زمین
۱۲۴.....	۶-۶ ۱-۵ مقدمه
۱۲۴.....	۶-۶ ۲-۵ ساختار شبکه های عصبی مصنوعی
۱۲۵.....	۶-۶ ۳-۵ مدل ریاضی یک سلول عصبی مصنوعی
۱۳۰.....	۶-۶ مزایا و معایب شبکه های عصبی
۱۳۱.....	۶-۶ نکات مهم در کاربرد شبکه های عصبی
۱۳۲.....	۸-۶ مقایسه پیش بینی لرزش به روش شبکه عصبی با روابط تجربی
۱۳۴.....	۹-۶ بحث

### فصل هفتم: نتایج و پیشنهادات

۱۳۷.....	نتایج
۱۳۸.....	پیشنهادات
۱۳۹.....	منابع

# فهرست جداول

صفحه

عنوان

۹	جدول ۱-۲: نتایج طبقه بندی مهندسی سنگ بروش RMR در مرحله امکان سنجی .....
۱۱	جدول ۲-۲: نتایج آزمون سه محوری انجام شده بر روی نمونه ها در تهران و کارلسروهه آلمان .....
۱۲	جدول ۳-۲: طبقه بندی توده سنگ بروش Q در مرحله مطالعات مهندسی .....
۱۲	جدول ۴-۲: طبقه بندی توده سنگ بروش RMR در مرحله مطالعات مهندسی .....
۱۳	جدول ۵-۲: طبقه بندی توده سنگ بروش Brautigam&Hesse در مرحله مطالعات مهندسی .....
۱۳	جدول ۶-۲: نتایج آزمون جک تخت انجام شده در تونل اکتشافی .....
۱۴	جدول ۷-۲: طبقه بندی توده سنگ بروش RMR با استفاده از مشاهدات انجام شده در تونل اکتشافی .....
۱۴	جدول ۸-۲: طبقه بندی توده سنگ Q با استفاده از مشاهدات انجام شده در تونل اکتشافی .....
۱۶	جدول ۹-۲: نتایج آزمایشات انجام شده بر روی نمونه های تهیه شده از انتهای تونل دسترسی به مغار نیروگاه .....
۱۶	جدول ۱۰-۲: پارامترهای دگر شکل شدگی توده سنگ .....
۱۶	جدول ۱۱-۲: محاسبه زاویه اصطکاک اوج ناپیوستگی ها با استفاده از فرمول Barton&Choubey .....
۱۷	جدول ۱۲-۲: زاویه اصطکاک داخلی و چسبندگی توده سنگ .....
۱۷	جدول ۱۳-۲: جهت یابی ناپیوستگی ها .....
۱۷	جدول ۱۴-۲: هندسه ناپیوستگی ها .....
۳۰	جدول ۱-۳: معیار لرزش براساس فاصله مقیاس شده .....
۳۱	جدول ۲-۳: معیار اداره معادن آمریکا .....
۳۱	جدول ۳-۳: معیار لرزش براساس حداکثر سرعت ذرات .....
۳۲	جدول ۳-۴: معیار لرزش بر اساس حداکثر سرعت ذرات .....
۳۷	جدول ۳-۵: حداکثر سرعت قائم ذرات .....
۳۷	جدول ۳-۶: فاکتور مواد تشکیل دهنده ساختمان ( $F_m$ ) .....
۳۷	جدول ۷-۳: فاکتور نوع ساختمان ( $F_b$ ) .....
۳۸	جدول ۸-۳: فاکتور زمان پروره ( $F_t$ ) .....
۳۹	جدول ۹-۳: مقادیر ثابت مشخصه زمین ( $K_F$ ) .....
۴۷	جدول ۱۰-۳: اندازه گیری حداکثر سرعت ذرات در جهات مختلف .....
۵۳	جدول ۱۱-۳: مشخصات سنگ درزه دار .....
۵۵	جدول ۱۲-۳: نتایج اندازه گیری لرزش ناشی از انفجار در تونلهای مختلف .....
۵۵	جدول ۱۳-۳: تأثیر RMR روی حداکثر سرعت ذرات .....
۵۷	جدول ۱-۴: ماشین آلات حفاری در سد مسجد سلیمان .....
۷۲	جدول ۱-۵: نتایج حاصل از ثبت لرزش های حاصل از انفجار در طرح توسعه نیروگاه آبی سد مسجد سلیمان .....
۷۵	جدول ۲-۵: مقادیر ماکزیمم سرعت ذرات و زمان وقوع بعد از انفجار .....

## فهرست جداول

عنوان	صفحه
جدول ۳-۵: مختصات انجارها در Manifold8	۷۷
جدول ۴-۵: محدوده مولفه‌های فرکانس انجارهای ثبت شده در طرح توسعه نیروگاه آبی سد مسجد سلیمان	۸۸
جدول ۱-۶: داده‌های لرزه‌ای برآش شده	۱۰۶
جدول ۲-۶: نتایج بدست آمده از برآش داده‌های لرزه‌ای بر اساس روابط مختلف با استفاده از نرم افزار DATA FIT	۱۱۷
جدول ۳-۶: نتایج سنجش قدرت تخمین هر مدل	۱۲۲
جدول ۴-۶: مشخصات شبکه عصبی به کار رفته برای پیش‌بینی حداکثر سرعت ذرات (PPV)	۱۲۳
جدول ۵-۶: نتایج حاصل از ارزیابی تخمین‌های شبکه عصبی	۱۲۴

## فهرست شکلها

صفحه

عنوان

۶.....	شکل ۱-۲: موقعیت مکانی سد مسجد سلیمان
۱۹.....	شکل ۲-۲: وضعیت قرار گیری مغارهای سد مسجد سلیمان نسبت به یکدیگر
۲۰.....	شکل ۳-۳: پلان وضعیت قرار گیری فضاهای زیرزمینی سد مسجد سلیمان نسبت به یکدیگر
۲۵.....	شکل ۱-۳: حرکت امواج فشاری و بر Shi
۲۸.....	شکل ۲-۳: ارتباط بین جابجایی، سرعت، شتاب و فرکанс یک موج هارمونیک ساده
۳۲.....	شکل ۳-۳: تصحیح اثر طول خروج روی محاسبه حداقل سرعت ذرات در یک نقطه
۳۸.....	شکل ۴-۳: فاکتور فاصله ( $F_r$ )
۴۱.....	شکل ۵-۳: اثرات شرایط منطقه بر روی لرزهای ناشی از انفجار
۴۲.....	شکل ۶-۳: رابطه بین فاصله از محل انفجار و مدت زمان لرزش
۴۲.....	شکل ۷-۳: تاثیر خروج ویژه بر روی شدت لرزش زمین
۴۴.....	شکل ۸-۳: موقعیت یک ردیف چال انفجاری با وضعیت قرار گیری دستگاههای لرزه نگار
۴۵.....	شکل ۹-۳: ارتباط طول خروج با حداقل سرعت افقی ذرات
۴۶.....	شکل ۱۰-۳: الگوی آتشباری تک ردیفی
۴۶.....	شکل ۱۱-۳: الگوی آتشباری دو ردیفی
۴۸.....	شکل ۱۲-۳: a-مشخصات هندسی مدل، b-جزئیات مقطع A-A
۴۹.....	شکل ۱۳-۳: ارتباط حداقل سرعت ذرات با عرض درزه
۵۰.....	شکل ۱۴-۳: ارتباط درصد کاهش جابجایی و عرض درزه
۵۱.....	شکل ۱۵-۳: ارتباط حداقل سرعت ذرات و فاصله از مرکز خروج برای لایه‌های مختلف ماسه
۵۱.....	شکل ۱۶-۳: ارتباط کاهش سرعت ذرات با ضخامت‌های مختلف لایه ماسه
۵۲.....	شکل ۱۷-۳: ارتباط کاهش سرعت ذرات با ضخامت لایه پر شده با رس و ماسه و بدون پر شدن
۵۳.....	شکل ۱۸-۳: حداقل سرعت ذرات در جهت X برای درزهای مختلف
۵۴.....	شکل ۱۹-۳: حداقل سرعت ذرات در جهت X برای درزهای با سفتی متفاوت
۵۸.....	شکل ۴-۱: الگوی آتشکاری شماره یک
۵۹.....	شکل ۴-۲: الگوی آتشکاری شماره دو
۶۰.....	شکل ۴-۳: الگوی آتشکاری شماره سه
۶۱.....	شکل ۴-۴: الگوی آتشکاری شماره چهار
۶۲.....	شکل ۴-۵: الگوی آتشکاری شماره پنج
۶۳.....	شکل ۴-۶: الگوی آتشکاری شماره شش
۶۴.....	شکل ۴-۷: الگوی آتشکاری شماره هفت
۶۵.....	شکل ۴-۸: الگوی آتشکاری شماره هشت


 شهروندی  
 دانشگاه  
 فنی  
 شهر  
 شهر  
 شهر  
 شهر

## فهرست شکلها

### صفحه

### عنوان

۶۶.....	شکل ۹-۴ : الگوی آتشکاری شماره نه
۶۷.....	شکل ۱۰-۴ : الگوی آتشکاری شماره ده
۶۸.....	شکل ۱۱-۴ : الگوی آتشکاری شماره یازده
۶۹.....	شکل ۱۲-۴ : الگوی آتشکاری شماره دوازده
۷۱.....	شکل ۱-۵ تصویری از دستگاه زئون 1500 UVS
۷۵.....	شکل ۲-۵: ارتباط بین مقادیر ماکریم سرعت ذرات و مدت زمان بعد از وقوع
۷۶.....	شکل ۳-۵ : جهت شمال Manifold8 نسبت به جهت شمال
۷۸.....	شکل ۴-۵ : منحنی تراز هم سرعت مولفه قائم حداکثر سرعت ذرات سد مسجد سلیمان
۷۹.....	شکل ۵-۵ : منحنی تراز هم سرعت مولفه شعاعی حداکثر سرعت ذرات سد مسجد سلیمان
۸۰.....	شکل ۶-۵ : منحنی تراز هم سرعت مولفه مماسی حداکثر سرعت ذرات سد مسجد سلیمان
۸۱.....	شکل ۷-۵ : منحنی تراز هم سرعت برآیند حداکثر سرعت ذرات سد مسجد سلیمان
۸۲.....	شکل ۸-۵ : منحنی تراز هم شتاب مولفه قائم شتاب ذرات سد مسجد سلیمان
۸۳.....	شکل ۹-۵ : منحنی تراز هم شتاب مولفه شعاعی شتاب ذرات سد مسجد سلیمان
۸۴.....	شکل ۱۰-۵ : منحنی تراز هم شتاب مولفه مماسی شتاب ذرات سد مسجد سلیمان
۸۵.....	شکل ۱۱-۵ : منحنی تراز هم شتاب برآیند شتاب ذرات سد مسجد سلیمان
۸۷.....	شکل ۱۲-۵ : استاندارد DIN 4150
۸۸.....	شکل ۱۳-۵ : تحلیل داده های لزه ای حاصل از انفجار در Manifold8 طرح توسعه سد مسجد سلیمان با استاندارد DIN4150
۹۱.....	شکل ۱۴-۵: ارتباط بین حداکثر خرج در هر تاخیر با مولفه های مختلف حداکثر سرعت ذرات
۹۲.....	شکل ۱۵-۵ : ارتباط بین حداکثر خرج در هر تاخیر با مولفه های مختلف فرکانس لرزش
۹۴.....	شکل ۱۶-۵ : ارتباط بین فاصله از محل انفجار با مولفه های مختلف حداکثر سرعت ذرات
۹۵.....	شکل ۱۷-۵ : ارتباط بین فاصله از محل انفجار با مولفه های مختلف فرکانس لرزش
۹۷.....	شکل ۱۸-۵ : ارتباط بین مقدار خرج ویژه با مولفه های مختلف حداکثر سرعت ذرات
۹۸.....	شکل ۱۹-۵ : ارتباط بین مقدار خرج ویژه با مولفه های مختلف فرکانس لرزش
۹۹.....	شکل ۲۰-۵ : ارتباط بین تعداد چال با مولفه های مختلف حداکثر سرعت ذرات
۱۰۰.....	شکل ۲۱-۵ : ارتباط بین تعداد چال با مولفه های مختلف فرکانس لرزش
۱۰۵.....	شکل ۲-۱: توزیع داده اندازه گیری شده حداکثر سرعت ذرات بر حسب فاصله از محل انفجار و میزان خرج هر تاخیر
۱۰۷.....	شکل ۶-۲: موقعیت محل ثبت داده های لرزه ای و محلهای انفجار
۱۰۸.....	شکل ۶-۳: نمودار برآشش شده داده های لرزه ای حاصل از انفجار براساس رابطه آمریاس - هندرون
۱۰۹.....	شکل ۶-۴: رویه برآشش شده برآساس رابطه آمریاس - هندرون
۱۱۰.....	شکل ۶-۵: نمودار برآشش شده داده های لرزه ای حاصل از انفجار براساس رابطه اداره معادن آمریکا

## فهرست شکلها

صفحه

عنوان

شکل ۶-۶: رویه برآش شده برا اساس رابطه اداره معادن آمریکا	۱۱۰
شکل ۶-۷: نمودار برآش شده داده های لرزه ای حاصل از انفجار براساس رابطه لانگفورس - کیلستروم	۱۱۱
شکل ۶-۸: رویه برآش شده برا اساس رابطه لانگفورس - کیلستروم	۱۱۲
شکل ۶-۹: نمودار برآش شده داده های لرزه ای حاصل از انفجار براساس رابطه جاست - فری	۱۱۳
شکل ۶-۱۰: رویه برآش شده برا اساس رابطه جاست - فری	۱۱۳
شکل ۶-۱۱: نمودار برآش شده داده های لرزه ای حاصل از انفجار براساس رابطه موسسه تحقیقات مرکزی هند	۱۱۴
شکل ۶-۱۲: رویه برآش شده برا اساس رابطه موسسه تحقیقات مرکزی هند	۱۱۵
شکل ۶-۱۳: نمودار برآش شده داده های لرزه ای حاصل از انفجار براساس رابطه جدید	۱۱۶
شکل ۶-۱۴: رویه برآش شده برا اساس رابطه جدید	۱۱۶
شکل ۶-۱۵: مقایسه نتایج حاصل از روابط پیشنهادی براساس آمریکا - هندرون با مقادیر واقعی ثبت شده	۱۱۸
شکل ۶-۱۶: مقایسه نتایج حاصل از روابط پیشنهادی براساس اداره معادن آمریکا با مقادیر واقعی ثبت شده	۱۱۹
شکل ۶-۱۷: مقایسه نتایج حاصل از روابط پیشنهادی براساس لانگفورس - کیلستروم با مقادیر واقعی ثبت شده	۱۲۰
شکل ۶-۱۸: مقایسه نتایج حاصل از روابط پیشنهادی براساس فری با مقادیر واقعی ثبت شده	۱۲۱
شکل ۶-۱۹: مقایسه نتایج حاصل از روابط پیشنهادی براساس موسسات تحقیقات مرکزی هند با مقادیر واقعی ثبت شده	۱۲۲
شکل ۶-۲۰: مقایسه نتایج حاصل از روابط جدید با مقادیر واقعی ثبت شده	۱۲۳
شکل ۶-۲۱: نحوه اتصال سلول ها در شبکه عصبی مصنوعی و ساختار لایه ای آن	۱۲۵
شکل ۶-۲۲: مدل یک سلول عصبی مصنوعی	۱۲۶
شکل ۶-۲۳: تابع تحریک حد آستانه	۱۲۸
شکل ۶-۲۴: تابع تحریک قسمتی خطی	۱۲۹
شکل ۶-۲۵: تابع تحریک سیگنال با چند شیب متغیر	۱۳۰

## فهرست علائم اختصاری

اختصار	عبارة كامل
D	Distance
G	Gravity
HPPV	Horizontal peak particle velocity
IPS	Inch per second
PPV	Peak particle velocity
RQD	Rock quality designation
SD	Scale Distance
UCS	Uniaxial compressive strength
$V_p$	Propagation velocities of the longitudinal waves
$V_s$	Propagation velocities of the transverse waves
VD	Velocity of detonation
W	Weight of charge